

## 電子制御工学実験報告書

実験題目 : 論理回路の設計  
報告者 : 3 年 32 番 平田 蓮  
提出日 : 2019 年 12 月 17 日  
実験日 : 2019 年 11 月 25 日, 12 月 9 日, 12 月 16 日  
実験班 : 第 4 班  
共同実験者 : 8 番 小林歩夢

### ※指導教員記入欄

評価項目	配点	一次チェック ・ ・	二次チェック ・ ・
記載量	20		
図・表・グラフ	20		
見出し, ページ番号, その他体裁	10		
その他の減点	－		
合計	50		

コメント :

## 1 目的

本実験では、ロジック学習装置 KENTAC 2600 (昭和電業社) を用いて基本的な論理回路の設計を行うことで、コンピュータのハードウェア設計の基礎となる論理回路設計の理解を深めることを目的とする。まず、マルチプレクサや半加算器などの組み合わせ論理回路の設計に取り組み、真理値表と論理式と論理回路の対応へのイメージを深める。そして、各種フリップフロップの動作確認とシフトレジスタ及びカウンタの設計を通して、コンピュータの記憶装置を用いた機能の基礎となる順序回路への理解を深める。

## 2 KENTAC 2600 について

本実験で使用するロジック学習装置 KENTAC 2600 の主な特徴を以下に挙げる。

- 入出力の端子と LED ディスプレイを確認することにより、High/Low を目で確認できる。
- 回路素子記号がパネル上に描かれているため、わかりやすい。
- 信号発信器を内蔵しているので、外部の発信器が必要ない。

## 3 組み合わせ論理回路の設計

### 3.1 プライオリティエンコードの設計

情報を保存したり伝送したりする際には、なるべく使用する記憶素子や伝送路を少なくすることが望ましい。そこで用いられるのが符号化 (エンコード) という手法であり、符号化を行う回路のことをエンコードという。中でも、複数の入力があった場合に最も添字が大きいものを優先させるものをプライオリティエンコードという。

この節では、4 入力のプライオリティエンコードを設計する。入力をそれぞれ  $A_i$  ( $i \in \{0, 1, 2, 3\}$ ), 出力を  $Z_1, Z_2, E$  とし、 $(Z_2 Z_1)_2$  で入力されている最大の添字を表す。また、 $E$  はどこからも 1 の入力がない場合 1, それ以外の場合は 0 である。

まず、このプライオリティエンコードの真理値表を表 1 示す。表内の  $\times$  はドントケア入力であることを示す。次に、

表 1 4 入力プライオリティエンコードの真理値表

$A_0$	$A_1$	$A_2$	$A_3$	$Z_2$	$Z_1$	$E$
0	0	0	0	0	0	1
1	0	0	0	0	0	0
$\times$	1	0	0	0	1	0
$\times$	$\times$	1	0	1	0	0
$\times$	$\times$	$\times$	1	1	1	0

この表から各出力の式を導出する.

$$Z_2 = A_2 \overline{A_3} + A_3 = A_2 \overline{A_3} + A_2 A_3 + \overline{A_2} A_3 = A_2 + A_3$$

$$Z_1 = A_1 \overline{A_2} \overline{A_3} + A_3 = A_1 \overline{A_2} \overline{A_3} + A_1 \overline{A_2} A_3 + \overline{A_1} \overline{A_2} A_3 = A_1 \overline{A_2} + A_3$$

$$E = \overline{A_0} \overline{A_1} \overline{A_2} \overline{A_3}$$

最後に, これらの式から回路を構成する. 構成した回路を図 1 に示す.

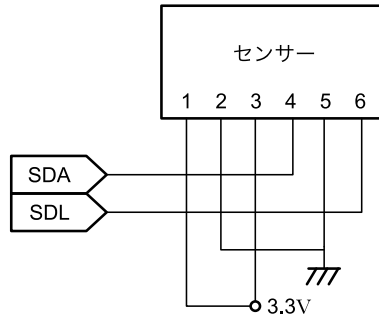


図 1 4 入力プライオリティエンコーダの論理回路

## 3.2 加算器

論理回路によって 1 ビットの加算を行うことを考える. このような回路を半加算器 (HA: Half Adder) という.

HA は, 入力  $A, B$  に対してその和  $(C^+ S)_2$  を出力する ( $C^+$  は桁上がり). HA は下位ビットからの桁上りを考慮していないので複数桁の演算をできない.

そのため, HA に桁上がり入力  $C$  を追加することを考える. この回路を全加算器 (FA: Full Adder) という.

FA は,  $A + B + C$  を演算するので, HA を 2 つ使用して以下のように構成することができる. ただし, 2 つの HA の出力をそれぞれ  $(C_1^+ S_1)_2, (C_2^+ S)_2$  とする.

1. HA を使用して  $A + B$  を演算して  $S_1$  と  $C_1^+$  を得る.
2. HA を使用して  $S_1 + C$  を演算して  $S$  と  $C_2^+$  を得る.
3. 上のどちらかの演算で桁上がりが発生していたら全体の演算でも桁上がりが発生するので,  $C_1^+$  と  $C_2^+$  の論理和を取って  $C^+$  を得る.

このように構成した回路と FA のタイミングチャートを図 2, 3 に示す.

## 3.3 2 ビット加算器の作成

3.2 節で作成した FA を使用して,  $(A_2 A_1)_2 + (B_2 B_1)_2 = (S_3 S_2 S_1)_2$  の演算を行う 2 ビットの加算器を作成する.

筆算と同じ要領で, 先に下位ビットを HA で演算した後, その桁上がりと上位ビットを FA で演算することで構成できる. 図 4 に作成した回路を示す.

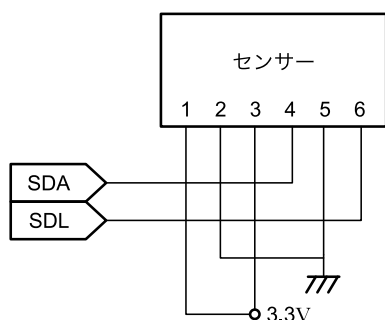


図 2 FA の論理回路

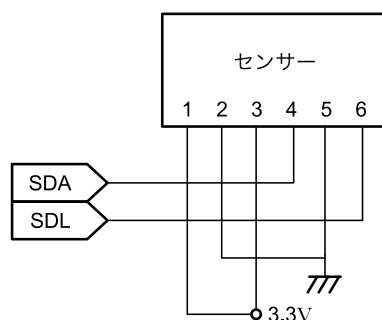


図 3 FA のタイミングチャート

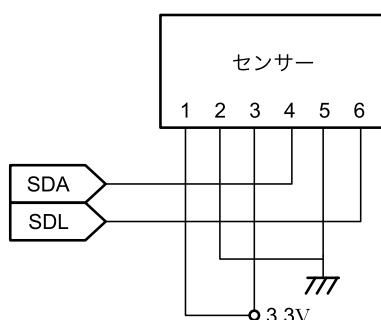


図 4 2 ビット加算器の論理回路

## 4 順序論理回路の設計

組み合わせ論理回路はその瞬間の入力によって出力がただ 1 つに定まる回路であった。しかし、コンピュータの動作の中にはその時の入力だけでなく、その時の状態も出力に関わる物が多い。このような回路を順序回路という。順序回路を構成する際に、1 ビットの記憶素子としてフリップフロップ (FF: Flip Flop) を使用する。FF はその特徴によって様々な種類が存在するが、本節では JK-FF と D-FF に触れる。

### 4.1 JK-FF と D-FF

JK-FF, D-FF の入力をそれぞれ  $(J, K)$ ,  $D$ , 両 FF のクロック入力, 内部状態, 次の内部状態をそれぞれ CLK,  $Q$ ,  $Q^+$  とする。両 FF のタイミングチャート, 状態遷移表を以下に示す。状態遷移表の  $\times$  はドントケア入力を表す。

### 4.2 シフトレジスタの作成

簡単な順序回路の例として 3 ビットシフトレジスタを設計する。シフトレジスタは、クロック入力ごとに保持しているビット列を 1 桁ずつシフトさせる回路である。この操作の度に最上位ビットは捨てられ、最下位ビットにはクロック入力時の入力が入る。構成方法としては、フリップフロップを直列に並べ、下位ビットの状態を上位ビットに書き込むようにすればいい。

D-FF を使用すれば簡単に作成することができるが、KENTAC 2600 には D-FF が 2 個しか内蔵されていないので、

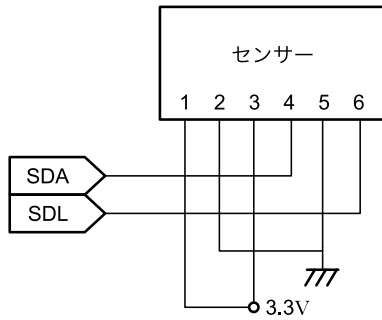


図5 JK-FF のタイミングチャート

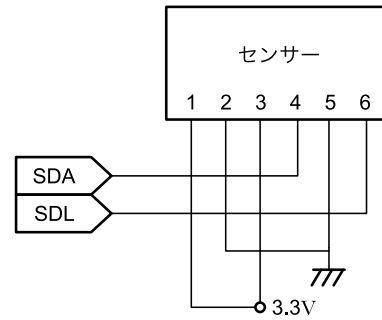


図6 D-FF のタイミングチャート

表2 JK-FF の状態遷移表

$J$	$K$	CLK	$Q^+$
$\times$	$\times$	0	$Q$
0	0	1	$Q$
0	1	1	0
1	0	1	1
1	1	1	$\overline{Q}$

表3 D-FF の状態遷移表

$D$	CLK	$Q^+$
$\times$	0	$Q$
$\times$	1	$D$

JK-FF を使って D-FF を作成する.

作成した D-FF を 3 つ直列に接続してシフトレジスタを作成する. このシフトレジスタの内部状態を  $Q_3, Q_2, Q_1$  とする. また, 直近の入力が  $1 \rightarrow 1 \rightarrow 0$  だった時に出力  $X$  が 1 になるようにする. これは,  $(Q_3, Q_2, Q_1)$  が  $(0, 1, 1)$  のときに  $X$  に 1 を出力すればいい.

作成した回路を図 7, 8 に示す.

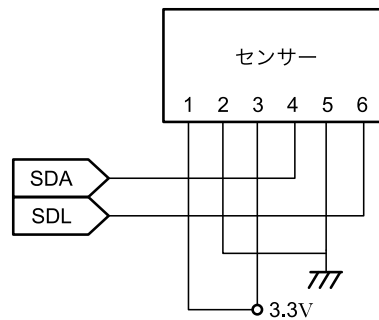


図7 JK-FF による D-FF

### 4.3 カウンタの作成

カウンタはクロック入力の階数を数える順序回路である. 今回は 3 ビットの 8 進カウンタを考える. 始めに, 今の状態を  $(Q_3, Q_2, Q_1)_2$ , 次の状態を  $(Q_3^+, Q_2^+, Q_1^+)_2$  として状態遷移表を考える.

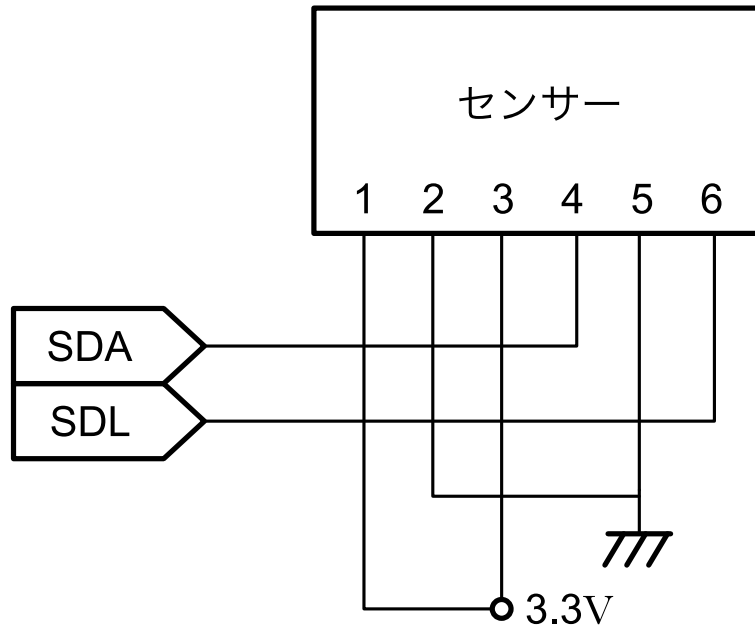


図 8 3 ビットシフトレジスタの論理回路

表 4 8 進カウンタの状態遷移表

$Q_3$	$Q_2$	$Q_1$	$Q_3^+$	$Q_2^+$	$Q_1^+$
0	0	0	0	0	1
0	0	1	0	1	0
0	1	0	0	1	1
0	1	1	1	0	0
1	0	0	1	0	1
1	0	1	1	1	0
1	1	0	1	1	1
1	1	1	0	0	0

表 4 に示したこの表から  $Q_3^+$ ,  $Q_2^+$ ,  $Q_1^+$  の論理式を導く. 各フリップフロップは, 自身より下位のビットが全て 1 になった時に反転すれば良いので, 下位ビット全ての論理積を取り, JK-FF の両方の入力端子に入力するように設計する.  $Q_3$ ,  $Q_2$ ,  $Q_1$  それぞれの入力を  $(J_3, K_3)$ ,  $(J_2, K_2)$ ,  $(J_1, K_1)$  として求めた論理式をまとめると,

$$J_1 = K_1 = 1$$

$$J_2 = K_2 = Q_1$$

$$J_3 = K_3 = Q_1 Q_2$$

となる.

この式をもとに作成した回路を図 9 に示す.

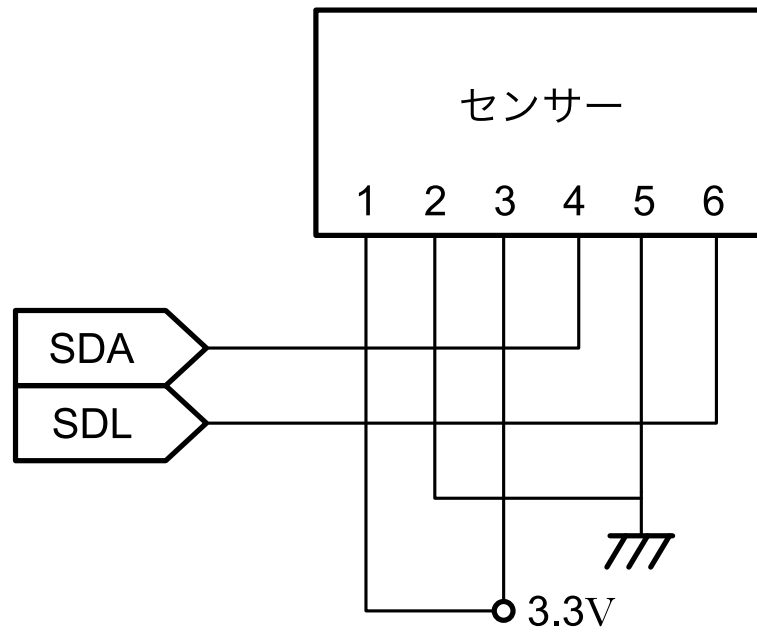


図9 8進カウンタの論理回路

5 調査課題

6 感想・意見